

## تحلیل ویژگی‌های بافتی تصاویر میکروسکوپی پودر عصاره برگ کنگر فرنگی تولید شده از خشک کن خلأیی پاششی

سمانه صادق‌زاده نماور<sup>۱</sup> - جعفر امیری پریان<sup>۲\*</sup> - رضا امیری چایجان<sup>۳</sup>

تاریخ دریافت: ۱۳۹۵/۱۲/۲۶

تاریخ پذیرش: ۱۳۹۶/۰۷/۲۳

### چکیده

پردازش تصاویر دیجیتال به عنوان روشی جدید برای ارزیابی کمی و کیفی خصوصیات بافتی پودر مواد غذایی و دارویی از اهمیت بالایی برخوردار است. در این پژوهش از خشک کن خلأیی پاششی با ریز ذره‌ساز آتراسونیک به منظور تولید پودر خشک از عصاره برگ کنگر فرنگی فرموله شده با ماده افزودنی لاکتور استفاده شد. روند خشک کردن در یک محفظه خشک کن خلأیی و در دمای بین تر از دمای خشک کن های پاششی معمول انجام شد. هدف از این مطالعه، بررسی اثر شرایط عملی بهینه (۷۵°C، ۴۰ kPa) نامطلوب (%) و دو شرایط (۶۵°C، ۳۰ kPa) و (۴۵°C، ۳۰ kPa) خشک کن خلأیی پاششی روی ویژگی‌های بافتی مستقل از جهت و اثر زاویه در جهت‌های چهارگانه (۰°، ۴۵°، ۹۰° و ۱۳۵°) روی ویژگی‌های بافتی جهت‌دار پودر عصاره برگ کنگر فرنگی می‌باشد. برای تشخیص بافت، تصاویر میکروسکوپی (SEM) به دو صورت تک ذره و ذرات توده‌ای تهیه شدند. ده ویژگی بافتی تصاویر با استفاده از ماتریس هم وقوعی سطوح خاکستری به منظور ارزیابی کیفی بافت پودر عصاره استخراج گردید. نتایج حاصل از تجزیه و تحلیل بافت نشان داد که پودرهای حاصل از شرایط خشک کردن در دمای بالا (۷۵ درجه سلسیوس) و فشار خلأیی پایین (۲۰ کیلو پاسکال) و غلظت محلول (۲ گرم بر ۱۰۰ میلی لیتر) دارای تعداد بیشتری از ذرات با بافت صاف و یکنواخت بودند. درنتیجه در این شرایط، پارامترهای انرژی، همبستگی، همگنی و glcmsstd بیشترین مقادیر کنتراست، آتروبی، stdfilt و rangefilt کمترین مقدار را دارا بودند. دو ویژگی بافتی جهت‌دار (کنتراست و همبستگی) نیز با توجه به ماهیت بافت ذرات در جهت‌های اندازه‌گیری مختلف اختلاف معنی داری را نشان دادند.

**واژه‌های کلیدی:** برگ کنگر فرنگی، خشک کن خلأیی پاششی، پودر عصاره، پردازش تصویر، ویژگی‌های بافت، ماتریس هم وقوعی سطح خاکستری

سرشار از مواد مغذی مهم مانند ویتامین A، ویتامین C، پتاسیم و فیر است (Lattanzioa, 2009).

در بخش دارویی، عصاره خشک در تهیه قرص، کپسول، حبه، پماد و به عنوان محصولات واسطه استفاده می‌شود. عصاره خشک را می‌توان با حذف آب از یک محلول عصاره تغییض شده از مواد گیاهی (برگ، ریشه، دانه‌ها، کل گیاه، گل آذین، میوه‌ها و غیره)، به صورت پودر خشک آماده کرد.

اخیراً استفاده از خشک کن پاششی برای خشک کردن عصاره‌های مواد غذایی و گیاهی و همچنین برای کپسوله کردن برخی از محصولات مشتق شده از گیاهان مورد توجه واقع شده است. خشک کن پاششی به طور گستره‌ای در آماده‌سازی پودر خشک از عصاره گیاهان دارویی، پالپ میوه، روغن‌های گیاهی و غیره استفاده می‌شود (Woo et al., 2010). یکی از روش‌های تازه توسعه یافته خشک کن پاششی، روش خلأ مافق صوت است، که نقاط قوت خشک کن پاششی را با ترکیب نازل مافق صوت و محفظه خلأ افزایش می‌دهد

در طول چند سال اخیر توجه رو به رشدی به گیاه کنگر فرنگی به عنوان یک گیاه قدیمی با خصوصیات جدید در غذاهای کاربردی، مشاهده شده است. کنگر فرنگی گونه‌ای متعلق به تیره Asteraceae که قبل از میلاد مسیح در قرن چهارم به عنوان غذا و دارو شناخته شده است. این گیاه مورده پسند مصریان باستان، یونانی‌ها و رومیان، واقع شده بود که آن را هم به عنوان غذا و هم به عنوان دارو (به خاطر اثرات مفید آن در برابر بیماری‌های صفرایی - کبدی و به عنوان کمک Marzi et al., 1975; Sonnante et al., 2002). کنگر فرنگی نوعی ماده غذایی از گروه سبزی‌ها است که

۱، ۲ و ۳- به ترتیب داشجوی دکتری، استادیار و دانشیار، گروه مهندسی بیوپریستم، دانشکده کشاورزی، دانشگاه بولنی سینا، همدان، ایران  
(\*)- نویسنده مسئول: Email: Amiriparian@gmail.com  
DOI: 10.22067/jam.v8i2.63321

پارامترهای بافت تصویر مورد ارزیابی قرار دادند. آن‌ها نشان دادند که افروden صفحه، تأثیر معنی‌داری بر ریزساختار بستنی داشته و باعث کاهش قطر معادل جباب، تخلخل، آنتروپی و افزایش کرویت جباب می‌شود (Mirarab *et al.*, 2015). در تحقیقی خواص رنگ و بافت اسنکهای جبهای، با روشی مبتنی بر تصویربرداری در شرایط مختلف سرخ کردن مورد ارزیابی قرار گرفت. در این تحقیق اثر درجه حرارت سرخ کردن (۱۵۰، ۱۷۰، و ۱۹۰ درجه سیلیسیوس) و زمان سرخ کردن (۰/۵، ۱/۵، ۲/۵، ۳/۵ و ۴/۵ دقیقه) بر خواص رنگی و بافتی تصویر (L\*, a\*, b\*, بعد فراکتال، همبستگی، آنتروپی، کنتراست و همگنی) بررسی شد (Mohammadi Moghaddam *et al.*, 2014).

همچنین در تحقیقی دیگر، کپسوله کردن عصاره وانیل با استفاده از نشاسته‌های سوکسینیک ایندرید با به کار بردن تجزیه و تحلیل بافت تصویر و آرایه آشکارساز گاز مورد مطالعه قرار گرفت. کپسوله کردن عصاره وانیل با کپسول و نشاسته اصلاح شده ۱۰۰ Hi-Cap با دو روش خشک کردن پاششی و انجام‌دادی انجام شد. راندمان کپسوله کردن با مرتبط کردن بافت نشاسته و حفظ عطر محصول بررسی شد. تجزیه و تحلیل بافت با استفاده از استخراج ویژگی ماتریس هم‌وقوعی سطح خاکستری (GLCM) انجام گردید (Rodríguez *et al.*, 2013). محققان زیادی نیز اثر شرایط خشک کن پاششی را روی خصوصیات شکل (مورفولوژی) پودر سس ماهی (*et al.*, 2010) و پودر شیر (Nikolova *et al.*, 2015) با استفاده از یک بررسی جامع از تصاویر میکروسکوپ الکترونی روبشی (SEM) مورد مطالعه قراردادند.

با توجه به بررسی تحقیقات انجام‌شده، مشخص گردید که تاکنون پژوهشی در زمینه تشخیص بافت پودرهای عصاره برگ کنگرفرنگی بر اساس تکنیک پردازش تصویر روی ذرات توده‌ای و تک ذره انجام نشده است. لذا هدف از این مطالعه، طراحی الگوریتمی مبتنی بر روش پردازش بافت تصاویر میکروسکوپی ذرات توده‌ای و تک ذره پودر عصاره برگ کنگرفرنگی تولیدشده با خشک کن خلأی پاششی می‌باشد تا در جهت شناسایی و تشخیص تغییر بافت ذرات با توجه به تغییر شرایط خشک کن گامی مؤثر برداشته شود.

## مواد و روش‌ها

### مواد

برگ‌های تازه کنگرفرنگی از باغ گیاهان دارویی همدان خریداری شد. متابول و لاکتوز تک آبه از شرکت سیگما الدریج، آلمان خریداری گردید. آب قطره نیز به عنوان حلال در کل آزمایش‌ها مورد استفاده قرار گرفت.

(Semyonov *et al.*, 2011). انتظار می‌رود که خشک کن خلأی پاششی با ریز ذره ساز آلتراسونیک بتواند با زمان باقی مانده کوتاه از قطرات یکنواخت تولیدشده توسط ریز ذره ساز آلتراسونیک، همچنین از طریق دمای پایین و جو خلأ در محفظه خشک کن بازده بالایی را نتیجه دهد (Freitas *et al.*, 2004; Sadykhov and Kish, 1997).

امروزه، پردازش تصویر برای تصاویر مواد غذایی حاصل از سیستم‌های مختلف میکروسکوپی، به منظور دستیابی به داده‌های عددی در مورد مورفولوژی، ساختار و میکرو ساختار مواد غذایی تحلیل شده، به کاربرده می‌شود (Moghimi *et al.*, 2015). به همین دلیل، روش‌های میکروسکوپی و پردازش تصویر می‌تواند به عنوان ابزاری مناسب، ارزیابی کمی و کیفی میکرو ساختار مواد غذایی، ایجاد همبستگی عددی بین داده‌های میکرو ساختار به دست آمده از تصاویر و خصوصیات بافتی پودر مواد غذایی را ممکن سازد (Aguilera, 2007).

بافت، الگوی اطلاعات یا نظم ساختاری در یک تصویر می‌باشد و در آنالیز ویژگی‌ها و شرح تصویر استفاده می‌شود. در تحلیل تصویر، بافت نشان‌دهنده آرایش مکانی سطح خاکستری پیکسل‌های نواحی مختلف است و یکی از ویژگی‌های مهمی است که در تشخیص اشیاء یا مناطق موردنظر در یک تصویر کاربرد دارد. بافت تصویر با یک روش آماری، به نام روش ماتریس هم‌وقوعی سطح خاکستری (GLCM) تجزیه و تحلیل می‌شود. در این روش، ویژگی‌های مختلف بافت به‌واسطه ماتریسی که از اطلاعات موجود در پیکسل‌ها (به عنوان مثال مؤلفه‌های اصلی یک تصویر) مشتق شده، استخراج می‌شود. این ویژگی‌های بافتی برای مشخص کردن بافت محصول نیز می‌تواند باشد. مزایای استفاده از این روش که به یک‌رونده در تجزیه و تحلیل تصویر برای ارزیابی کیفیت مواد غذایی اشاره می‌کند، در بررسی‌های پیشرفته توسط محققان زیادی مورد بحث قرار گرفت (Zheng *et al.*, 2006; Yu *et al.*, 2012; Tournier *et al.*, 2012; Kamruzzaman *et al.*, 2012). استفاده از ماتریس هم‌وقوعی سطح خاکستری (GLCM) برای استخراج ویژگی‌های بافت‌های آماری مرتبه دوم برای برآورد حرکت تصاویر توسط Mohanaiah و همکاران (۲۰۱۳) ارائه شده بود. در این تحقیق، چهار ویژگی شامل: گشتاور لحظه‌ای مرتبه دوم، همبستگی، گشتاور لحظه‌ای معکوس و آنتروپی با استفاده از نرم‌افزار Xilinx FPGA محاسبه شد و نتایج نشان داد که ویژگی‌های بافتی دقت تشخیص بالا و زمان محاسبات کمتری دارند، از این‌رو به نحو احسن برای برنامه‌های کاربردی تشخیص الگوی بلاذرنگ استفاده گردید. میر میرعرب رضی و همکاران با بررسی اثر چربی (۵/۲، ۵، ۵/۷ و ۱۰ درصد)، درصد شیره انگور (صفر، ۵۰ و ۱۰۰ درصد) و فرآیند تولید (انجماد و سرد کردن)، ریز ساختار بستنی را با استفاده از پردازش

پودر خشک شده نیز از فیلتر جمع آوری شد. متغیرهای مورد مطالعه: دمای ورودی در ۵۵، ۶۵ و ۷۵ درجه سلسیوس، فشار خلاً در ۳۰، ۲۰ و ۱۰ کیلو پاسکال و غلظت محلول عصاره، ۲، ۲/۵ و ۳ گرم در ۱۰۰ میلی لیتر آب بودند. از مجموع شرایط فوق، چهار شرایط پنهانه ( $A_4$ )، نامطلوب ( $A_1$ ) و دو شرایط  $A_2$  و  $A_3$  مطابق جدول ۱ بهمنظور بررسی اثر تغییرات بافت با توجه به تعییر دما، فشار و غلظت محلول انتخاب شد. تعیین و شناسایی بافت پودرهای به دست آمده با استفاده از روش ماتریس هموقوعی سطح خاکستری (GLCM) مشخص شد. این ویژگی با تجزیه و تحلیل تصاویر میکروسکوپی به دست آمده توسط میکروسکوپ الکترونی روبشی (SEM) انجام شد، پردازش و تجزیه و تحلیل از طریق جعبه‌ابزار پردازش تصویر نرم‌افزار Meraz-Torres *et al.*, 2011; MATLAB صورت گرفت (Quintanilla-Carvajal *et al.*, 2011).

### استفاده از میکروسکوپ الکترونی روبشی (SEM)

#### به منظور مطالعه ویژگی‌های بافتی پودر

میکروسکوپ الکترونی به طور گستردگی برای ارزیابی ریزساختار مواد غذایی و محصولات بیولوژیکی استفاده می‌شود. در این تحقیق، به منظور ارزیابی ویژگی‌های بافتی پودر عصاره برگ کنگر فرنگی از میکروسکوپ الکترونی روبشی استفاده شده است. از این‌رو، چند میلی‌گرم از نمونه پودر عصاره برگ کنگر فرنگی روی یک نگهدارنده میلی‌گرم از نمونه SEM، که متنکی به نوار کربن رساناً بود، قرار داده شد. بدین طریق تصاویر مربوط به نمونه‌ها در بزرگنمایی‌های مختلف به دست آمد.

### بافت تصویر و تجزیه و تحلیل آماری بافت با استفاده از

#### روش ماتریس هموقوعی سطح خاکستری (GLCM)

برخی از محصولات پودری از لحاظ مورفولوژی مشابه هستند اما بافت متفاوتی را نشان می‌دهند. در این بخش، از ویژگی‌های بافتی تصاویر توده‌ای و تک ذره پودر عصاره برای ارزیابی شرایط کاری خشک کن خلأی پاششی استفاده شد. استخراج ویژگی‌ها، با استفاده از ماتریس هموقوعی سطح خاکستری انجام گرفت. به طور کلی، یک تصویر میکروسکوپی، ماتریسی با ابعاد  $N_y \times N_x$  سطر و درایه‌های آن  $N_g$  که می‌تواند سطح خاکستری متفاوت داشته باشد. با این فرض، اطلاعات بافتی تصویر را می‌توان به وسیله یک ماتریس فراوانی نسبی ( $j_i, i$ ) نشان داد. در این ماتریس مقدار درایه ( $j_i, i$ )، بیانگر تعداد همسایگی‌های اتفاق افتاده در جهت‌های چهارگانه (صفه، ۴۵ و ۹۰ درجه) در تصویر بین سطوح خاکستری ( $j_i, i$ ) است (Golpour *et al.*, 2015). زاویه‌ها، جهت ارتباط بین دو پیکسل با سطح خاکستری یکسان که می‌تواند افقی، عمودی یا مورب باشد را

### روش تجربی

#### آماده‌سازی محلول عصاره آبی از برگ کنگر فرنگی

برگ‌های تازه کنگر فرنگی پس از شستشو با آب در سایه خشک گردید و با یک آسیاب آزمایشگاهی (Artisan M.D 5000, Iran) پودر شدند. برگ کنگر فرنگی پودر شده، با آب مقطر در حال جوش از طریق تکان دهنده<sup>۱</sup> با سرعت ۹۰۰ دور بر دقیقه به مدت سه ساعت، عصاره‌گیری انجام گرفت. سپس عصاره به دست آمده سانتریفیوژ شده و توسط کاغذ صافی واتمن NO.4 فیلتر شد. این روش در دو تکرار IKA-RV 10, Germany تحت فشار خلاً به منظور خشک شدن تبخیر گردید. سپس غلظت موردنظر محلول با اضافه کردن آب مقطر به عصاره حاصل شد. غلظت عصاره توسط رفراكتومتر (Kruss) با داشتن محدوده متغیر صفر-۶۰ درصد و رزولوشن ۱/۰ تعیین شد. پس از آن لاتکوز تک آبه به عنوان یک افزودنی با عصاره برگ کنگر فرنگی با نسبت وزنی مشخص (۱:۲) فرموله شد و سپس به منظور تشکیل یک محلول همگن آبی تکان داده شد. درنهایت این مخلوط با استفاده از خشک کن خلأی پاششی با ریز ذره‌ساز التراسونیک ساخته شده در آزمایشگاه پس از برداشت (دانشگاه بوعلی سینا، همدان) خشک و پودر شد.

### فرآیند خشک کردن خشک کن پاششی خلأی و ریز ذره‌ساز آتراسونیک

در تحقیق حاضر، روش جدید خشک کن پاششی که از یک خشک کن خلأی پاششی با ریز ذره‌ساز التراسونیک استفاده می‌کند گزارش شده است. اجزای اصلی دستگاه، سیستم تغذیه عصاره برگ کنگر فرنگی، شامل یک پمپ پریستالیک، یک سیستم اتمیزه کننده محلول با طراحی خاص نازل آتراسونیک که می‌تواند در یک خلاً پیوسته با پراکنده کردن محلول به طور یکنواخت در محفظه خشک کن خلاً عمل کند سرعت تغذیه محلول در ۱۰/۵ میلی لیتر بر دقیقه حفظ شد. این نوع خشک کن شامل یک محفظه استوانه‌ای خلاً (با قطر ۱۲ سانتی‌متر و ارتفاع ۸۰ سانتی‌متر) و یک گرم کن الکتریکی که دمای محفظه خشک کن را کنترل می‌کند است. گرم کن سیم پیچی در اطراف محفظه استوانه پیچیده شده و به منظور گرم کردن محفظه خلاً استفاده شده است. شرایط خلاً نیز توسط پمپ خلاً مهیا شد. قطرات اتمیزه شده توسط شیلنگ سیلیکونی از نازل آتراسونیک به درون محفظه خلاً، هدایت شد. درنهایت، یک سیستم کنترل محصول (سیکلون) و کاغذ فیلتر قبل از پمپ خلاً استفاده شده است. درنهایت

$$p(i,j) = \frac{P(i,j)}{C} \quad (1)$$

تعیین می‌کند. به منظور نرمال کردن ماتریس هم وقوعی باید درایه‌های آن را مطابق رابطه (۱) بر یک عدد ثابت (C) تقسیم نمود.

### جدول ۱ - چهار شرایط عملی خشک کن خلأی پاششی

Table 1- Four process conditions of vacuum spray drying

شرایط کاری خشک کن پاششی خلأی Process condition of vacuum spray drying	دماي داخلی Inlet temperature (°C)	فشار خلا Vacuum pressure (kPa)	غلظت محلول عصاره با افزودنی Concentration of extract solution with excipient (g.100ml⁻¹)
A <sub>1</sub>	55	40	2
A <sub>2</sub>	65	30	2.5
A <sub>3</sub>	65	30	2
A <sub>4</sub>	75	20	3

جدول، شاخص‌های  $\sigma$  و  $\mu$  عدد ردیف و ستون در ماتریس GLCM هستند، (j) مقدار نرمال شده عنصر (i) ماتریس و  $\mu$  و  $\sigma$  به ترتیب میانگین و انحراف استاندارد روی  $\sigma$  و  $\mu$  است.

مقدار C برای یک تصویر با ابعاد مستطیلی  $N_x$  و  $N_y$  نیز از رابطه (۲) بدست می‌آید.

$$C = \left\{ 2N_x(N_y - 1) + 2N_y(N_x - 1) + 4(N_x - 1)(N_y - 1) \right\} \quad (2)$$

جدول ۲ روابط ریاضی ویژگی‌های بافتی را نشان می‌دهد. در این

### جدول ۲ - روابط ریاضی ویژگی‌های بافتی

Table 2- Mathematical equation of textural features (Albrechtsen, 2008)

ویژگی‌های بافت Textural features	فرمول Formula
آنتروپی Entropy	$\sum_{i=1}^{N_g-1} \sum_{j=1}^{N_g-1} p(i,j) \ln p(i,j)$
انرژی Energy	$\sum_{i=1}^{N_g-1} \sum_{j=1}^{N_g-1} \{p(i,j)\}^2$
کنترast Contrast	$\sum_{ i-j =0}^{N_g-1} (i-j)^2 \sum_{i=0}^{N_g-1} \sum_{j=0}^{N_g-1} p(i,j)$
همگنی Homogeneity	$\sum_{i=1}^{N_g-1} \sum_{j=1}^{N_g-1} \frac{1}{1+(i-j)^2} p(i,j)$
میانگین Mean ( $\mu_i$ )	$\sum_{i=0}^{N_g-1} i \sum_{j=0}^{N_g-1} p(i,j)$
واریانس $(\sigma_i^2)$	$\sum_{i=0}^{N_g-1} (i - \mu_i)^2 \sum_{j=0}^{N_g-1} p(i,j)$
همبستگی Correlation	$\frac{\sum_{i=0}^{N_g-1} \sum_{j=0}^{N_g-1} ij p(i,j) - (\mu_i \mu_j)}{\sigma_i \sigma_j}$

بودن تصویر را اندازه‌گیری می‌کند. زمانی که تصویر، دارای یکنواختی خوب و پیکسل‌های مشابه باشد، گشتاور زاویه‌ای مرتبه دوم بالا است. به طور کلی تصویر با سطح صاف (به عنوان مثال چند انتقال خاکستری) مقدار بالاتری از ASM را نسبت به تصویر نمونه با زبری (تصویر ناهمگن) خواهد داشت (Singh et al., 2010; Williams et al., 2010).

به منظور مطالعه بافت نمونه عصاره خشک به دست آمده، از ماتریس هم وقوعی سطح خاکستری GLCM، پنج ویژگی مختلف استخراج می‌شود. نخست، گشتاور زاویه‌ای مرتبه دوم (ASM)، که به عنوان یکنواختی یا انرژی شناخته شده است. این ویژگی، مجموع مربعات ورودی در GLCM است. گشتاور زاویه‌ای مرتبه دوم، همگن

### تحلیل آماری

تجزیه داده‌ها با نرم‌افزار آماری SAS 9.2 با استفاده از رویه GLM صورت گرفت. مقایسه میانگین‌ها با استفاده از آزمون چند دامنه‌ای دانکن با سطح احتمال خطای آلفا برابر با ۰/۰۵ انجام شد. برای ویژگی‌های بافتی مستقل از جهت از مدل آماری طرح کاملاً تصادفی استفاده گردید. ویژگی‌های بافتی جهت‌دار مربوط به کنتراست، همبستگی، انحراف و همگنی در چارچوب طرح کاملاً تصادفی به صورت فاکتوریل تجزیه آماری شد که در آن چهار شرایط عملی خشک کن به عنوان یک فاکتور و زاویه در جهت‌های چهارگانه به عنوان فاکتور دیگر در نظر گرفته شد. مدل آماری مورد استفاده به شرح زیر بود:

$$y_{ij} = \mu + A_i + B_j + AB_{ij} + e_{ij} \quad (3)$$

اجزای مدل عبارتند از:  $\mu$  میانگین برای ویژگی مورد نظر،  $A$  اثر شرایط خشک کن خلأی پاششی،  $B$  اثر زاویه،  $AB$  برهمنکش اثر شرایط خشک کن و زاویه و  $e$  اثر خطای باقی‌مانده.

فاکتورهای مستقل برای متغیرهای وابسته ویژگی‌های بافتی مستقل از جهت، چهار شرایط عملی خشک کن بود در حالی که برای ویژگی‌های بافتی جهت‌دار فاکتورهای مستقل، زاویه و شرایط خشک کن و اثر برهمنکش زاویه و شرایط خشک کن بوده است.

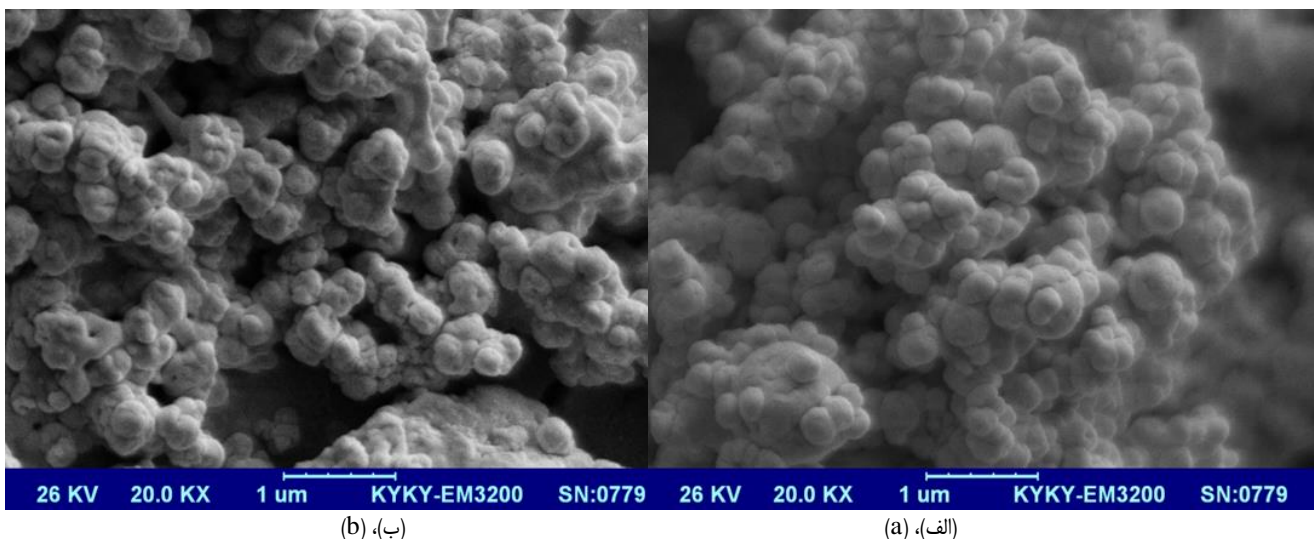
### نتایج و بحث

#### تجزیه و تحلیل بافت تصویر: ویژگی‌های بافتی پودر

شکل ۱ الف و ب دو نمونه از تصاویر SEM را در شرایط  $A_4$  و  $A_1$  به تصویر کشیده است، به طوری که در شرایط بهینه  $A_4$ ، نمونه ذرات با سطح صاف و زیری کمرت و شرایط نامطلوب  $A_1$  سطح بسیار ناهموار و زبر را نشان می‌دهد. به منظور تأیید این تفاوت‌های عینی، تجزیه و تحلیل بافت روی ذرات پودر عصاره تولید شده از خشک کن خلأی پاششی با استفاده از روش GLCM انجام شد. پس از آنالیز تصاویر SEM نمونه‌های تک ذره و ذرات توده‌ای پودر عصاره، تفاوت بافت آشکاری برای ذرات متعلق به شرایط گوناگون بدست آمد.

جدول ۳ اثر چهار شرایط عملی خشک کن خلأی پاششی و جهت اندازه‌گیری را روی ویژگی‌های بافتی جهت‌دار تک ذره تصاویر پودر عصاره نشان می‌دهد. با توجه به جدول، پارامتر کنتراست (CT) بافت تک ذره در شرایط عملی  $A_1$  (دمای ۵۵ درجه سلسیوس، فشار خلا ۴۰ کیلو پاسکال و غلظت ۲ درصد) بالاترین مقدار را دارا بود ( $P<0.0001$ ). درحالی که مقدار CT بزرگ‌تر، نشان‌دهنده زبری و ناصافی بیشتر سطوح است (Rodríguez *et al.*, 2013).

۱۹۹۷). دوم، پارامتر کنتراست و تمایز (CT)، که نشان‌دهنده میزان تغییرات محلی داده شده توسط تفاوت در مقدار خاکستری در تصویر است. مقدار CT سطوح صاف، کمتر از سطوح ناهموار خواهد بود. سوم، مقدار همبستگی (CR) است، که مقایسه از وابستگی خطی شدت رنگ خاکستری در تصویر، بسته به جهت اندازه‌گیری (زاویه‌های مختلف) است. یک تصویر ممکن است مقدار CR کم در یک جهت و مقدار CR بالاتر در جهت دیگر داشته باشد. چهارم، مقدار گشتاور معکوس (IDM) مشابه ASM، اما با استفاده از معادله‌ای متفاوت، کمیت همگنی تصویر را تعیین می‌کند، به طوری که مقدار وزنی IDM معکوس وزن کنتراست است. درواقع گشتاور معکوس (IDM) همگنی محلی است. بنابراین زمانی که سطح خاکستری محلی یکنواخت و گشتاور معکوس بالا است، مقدار آن زیاد است (Singh *et al.*, 2010). درنهایت، پارامتر آنتروپی (ET)، مقیاسی است که به طور معکوس به مرتبه شدت رنگ خاکستری در تصویر مربوط می‌شود: یک سطح صاف مقدار ET کمتری نسبت به سطح زبر نشان می‌دهد (Arzate-Vázquez *et al.*, 2012; Zheng *et al.*, 2006). آنتروپی اطلاعات تصویر را اندازه‌گیری می‌کند و نشان‌دهنده پیچیدگی توزیع بافت است (Parker and Terzidis, 2011). چندینتابع آنالیز بافت نیز در جعبه‌ابزار پردازش تصویر نرم‌افزار متلب موجود است که تصویر را با استفاده از روش‌های آماری استاندارد فیلتر می‌کند. توابع rangefilt و stdfilt به ترتیب طیف محلی و انحراف استاندارد یک تصویر را محاسبه می‌کنند. تابع entropyfilt نیز یک اندازه‌گیری آماری تصادفی است که آنتروپی محلی یک تصویر سیاه و سفید را محاسبه می‌کند. همه توابع به یک روش مشابه عمل می‌کنند، به طوری که همسایگی در اطراف پیکسل مورد نظر تعریف کرده، سپس ویژگی‌های آماری آن ناحیه را محاسبه می‌کنند و از آن مقدار به عنوان ارزش پیکسل در تصویر خروجی استفاده می‌کنند. تابع stdfilt انحراف استاندارد تمام مقداری موجود در همسایگی و تابع entropyfilt آنتروپی همسایگی را محاسبه می‌کند و آن مقدار را به پیکسل خروجی اختصاص می‌دهند. این روش‌های آماری می‌توانند با توجه به اطلاعاتی در مورد تنوع محلی مقدار شدت پیکسل‌ها در یک تصویر، بافت تصویر را مشخص کنند. به عنوان مثال، در مناطقی با بافت صاف، بازه مقدار پیکسل‌ها در همسایگی اطراف یک پیکسل، مقدار کوچکی دارد و در نواحی با بافت زبر و خشن، محدوده بازه بزرگ‌تر خواهد بود. به طور مشابه، محاسبه انحراف استاندارد پیکسل‌ها در یک همسایگی می‌تواند درجه تنوع مقدادر پیکسل در آن منطقه را نشان دهد (Kumar *et al.*, 2008). بنابراین ویژگی‌های بافتی جهت‌دار و مستقل از جهت اندازه‌گیری پودر عصاره در چهار شرایط عملی انتخابی خشک کن خلأی پاششی با استفاده از روش ماتریس هم‌وقوعی سطح خاکستری مقایسه شدند.



شکل ۱- تصاویر میکروسکوپی پودر عصاره برگ کنگر فرنگی در شرایط (الف) A<sub>4</sub> و (ب) A<sub>1</sub> خشک کن پاششی خلأیی

**Fig.1.** SEM images of artichoke leave extract powders in condition of (a) A<sub>4</sub> and (b) A<sub>1</sub> of vacuum spray drying

معنی‌داری را نشان داد. مطابق جدول ۳ در شرایط خشک کن A<sub>4</sub> و A<sub>3</sub> مقدار همبستگی بافت نسبت به سایر شرایط کاری خشک کن Rodriguez و همکاران (۲۰۱۳)، مقدار CR بزرگ‌تر، زبری کمتر و کرویت بیشتری را نشان می‌دهد. از آنجاکه در شرایط A<sub>4</sub>، فرآیند خشک کردن در دمای بالا و فشار خلاً پایین اتفاق می‌افتد، گرادیان حرارتی و فشار بیشتری بین محلول اتمیزه و داخل محفظه خشک کن ایجاد می‌شود که منجر به تبخیر سریع تر و در نتیجه مهاجرت اجزای محلول درون پوسته تشکیل شده به سطح قطرات اتمیزه می‌گردد، از این‌رو، تشکیل سریع یک لایه سخت خشک روی سطح قطرات در این شرایط، مانع از چروکیدگی ذرات شده و ذرات با زبری کمتر و همبستگی بیشتر بین سطوح خاکستری پیکسل را تولید می‌کند. مطابق با نتایج این تحقیق، Alamilla *et al.*, 2005) رابطه‌ای خطی و مستقیم بین نرخ تبخیر و خشک کردن ذرات با خشک کن پاششی و صافی سطوح ذرات گزارش کردند. شرایط A<sub>3</sub> نیز با داشتن غلظت پایین‌تر و سطوح دما و فشار متوسط، زبری کمتر و مقدار CR بزرگ‌تر داشته است. با نظر به این‌که، در غلظت پایین محلول با ثابت بودن میزان ماده (حامل) افزودنی، مقدار ماده افزودنی در نسبت عصاره به افزودنی (لاكتوز) افزایش یافته است، درنتیجه با کاهش غلظت محلول میزان لاكتوز در محلول بیشتر شده و سبب زبری کمتر در سطح پودر تولید شده توسط دستگاه خشک کن خلأیی پاششی شده است. از آنجایی که ماده افزودنی به عنوان یک ماده تشکیل‌دهنده‌ی پوسته در فرآیند خشک کردن ذرات است، بنابراین، ذرات تولید شده با انواع حامل، شکلی کروی و سطوحی صاف را نشان دادند (Tonon *et al.*, )

با توجه به این ویژگی، زمانی که قطرات در دمای پایین (۵۵ درجه سلسیوس) و فشار خلاً بالا (۴۰ کیلو پاسکال) خشک می‌شوند نسبت به قطرات خشک شده در دمای بالاتر (۷۵ درجه سلسیوس) و فشار خلاً پایین‌تر (۲۰ کیلو پاسکال) چروکیدگی بیشتری دارند. این رفتار می‌تواند با مکانیسم‌های چروکیدگی و تغییر شکل شدیدتر تحت این شرایط فرآیند در ارتباط باشد. دمای پایین‌تر و فشار خلاً بالاتر در فرآیند خشک کردن سبب انتشار و پخش آهسته‌تر آب در مواد و فرآیند تغییر شکل چشمگیر در ذرات شد. بنابراین تحت این شرایط، ذرات کوچک‌تر با زبری بیشتر و کرویت کمتری نسبت به دمای بالا و فشار خلاً پایین مشاهده شد. همسان با نتایج این تحقیق (- Chanona, 2008 Pérez *et al.*, 2008) گزارش کردن که دمای خشک کردن پایین، ذرات کوچکتری تولید می‌کند که دارای سطحی زبرتر و کرویتی کمتر نسبت به ذرات خشک شده در دمای بالا می‌باشد. همان‌گونه که در جدول ۳ مشاهده می‌شود، اثر زاویه نیز بر روی کنتراست بافت تک ذره پودر عصاره در سطح احتمال پنج درصد معنی‌دار شد، به طوری که مقادیر این پارامتر در زاویه‌های ۴۵ و ۱۳۵ درجه نسبت به زاویه‌های صفر و ۹۰ درجه بزرگ‌تر بودند. این پدیده نشان‌دهنده میزان بالاتری از تغییرات محلی در پیکسل‌های مربوط به زوایای ۴۵ و ۱۳۵ درجه با توجه به بافت تک ذره تصویر می‌باشد. در پژوهشی (Rodríguez *et al.*, 2013) با تحلیل بافت عصاره و اینل میکروپسوله شده نتایج مشابهی برای ویژگی‌های بافتی در جهت صفر و ۹۰ درجه حاصل شد که با نتایج این تحقیق همسو هست. تحلیل ویژگی بافتی همبستگی (CR) تصویر تک ذره پودر عصاره تحت تأثیر چهار شرایط مختلف کاری در جهت‌های چهار گانه در سطح ( $P<0.0001$ ) اختلاف

است انرژی بافت پودر عصاره در زاویه‌های مختلف همسان نباشد. مقادیر بالاتر انرژی نشان دهنده توزیع یکنواخت سطوح خاکستری پیکسل‌ها است، لذا در این شرایط، فرآیند تبخر تسريع یافته و تصاویری با پیکسل‌های همگن و مشابهی از بافت ذرات مشاهده شد. پارامتر همگنی بافت تک ذره پودر عصاره نیز تحت تأثیر چهار شرایط مختلف کاری اختلاف معنی‌داری نشان داد ( $P<0.001$ ). ویژگی همگنی (IDM) با همگنی محلی پیکسل‌ها در تصویر مرتبط است. مقادیر کم همگنی نشان دهنده توزیع نامنظم و ناهمگونی محلی پیکسل‌ها بر روی تصویر است و منجر به زبری و ناصافی بیشتر در سطح ذرات می‌شود. مطابق جدول ۳ پارامتر همگنی در شرایط  $A_1$ ، به دلیل تبخر آهسته‌تر و تشکیل ذرات چروکیده و زبر در دمای پایین و فشار خلاً بالا، دارای کمترین مقدار است. مشابه نتایج تحقیق حاضر، (Arzate-Vázquez *et al.*, 2012) نشان دادند که ویژگی انرژی و همگنی بافت میکروساختار با استفاده از تحلیل تصاویر میکروسکوپی نتایج مشابهی دارند.

(2011). نتایج مشابهی توسط Tonon و همکاران (۲۰۰۸) در مورد پودرهای میوه توت آسایی یا Acai با افزودنی مالتودکسترن و Gavini و همکاران (۲۰۰۵) در مورد پودرهای عصاره هیدروالکلی برگ کنگر فرنگی تولیدشده از خشک کن پاششی با افزودنی‌های لاکتوز و هیبروملوز گزارش شده است. CR با توجه به جهت اندازه‌گیری در زاویه صفر و ۹۰ درجه به دلیل وابستگی بیشتر بین شدت رنگ خاکستری پیکسل‌های تصویر، مقادیر بزرگتری نسبت به زوایای ۴۵ و ۱۳۵ درجه نشان داد. نتایج مشابهی برای اثر زاویه روی ویژگی‌های بافتی GLCM توسط (Alsadegh and Joan, 2012) گزارش شد به طوری که در زاویه صفر درجه بهترین نتایج برای ویژگی‌های بافتی به دست آمد و در سایر جهت‌ها با توجه به نوع بافت متفاوت بود. با توجه به نتایج ارائه شده در جدول ۳، در شرایط  $A_4$  پارامتر انرژی (ASM) نسبت به سایر شرایط کاری خشک کن به طور معنی‌داری بالاتر بود ( $P<0.001$ ). اثر زاویه بر این پارامتر نیز نزدیک به معنی‌دار شدن بود ( $P<0.1$ ) که نشان دهنده این است که ممکن

### جدول ۳- تحلیل اثر چهار شرایط عملی خشک کن خلاًی پاششی و زاویه اندازه‌گیری روی ویژگی‌های بافتی جهت‌دار تک ذره تصاویر پودر عصاره

**Table 3**-The analysis of the effect of vacuum spray drying conditions and measuring angle on the single-particle directional textural features of powdered extracts images

منبع تغییر Source of variation	ویژگی‌های بافتی Textural features			
	کنترast Contrast	همبستگی Correlation	انرژی Energy	همگنی Homogeneity
شرایط خشک کن Condition of drying				
$A_1$ (40kPa, 55°C, 2%)	2.87 <sup>a</sup>	0.73 <sup>c</sup>	0.12 <sup>d</sup>	0.72 <sup>b</sup>
$A_2$ (30kPa, 65°C, 2.5%)	1.65 <sup>b</sup>	0.85 <sup>b</sup>	0.21 <sup>c</sup>	0.87 <sup>a</sup>
$A_3$ (30kPa, 65°C, 2%)	1.37 <sup>b</sup>	0.89 <sup>a</sup>	0.29 <sup>b</sup>	0.89 <sup>a</sup>
$A_4$ (20kPa, 75°C, 3%)	1.05 <sup>b</sup>	0.91 <sup>a</sup>	0.46 <sup>a</sup>	0.88 <sup>a</sup>
خطای استاندارد SE	0.21	0.105	0.24	0.0094
زاویه Angle				
Angle 0°	1.37 <sup>b</sup>	0.88 <sup>a</sup>	0.32 <sup>a</sup>	0.86 <sup>a</sup>
Angle 45°	2.14 <sup>a</sup>	0.81 <sup>b</sup>	0.22 <sup>b</sup>	0.83 <sup>b</sup>
Angle 90°	1.41 <sup>b</sup>	0.87 <sup>a</sup>	0.27 <sup>ab</sup>	0.85 <sup>ab</sup>
Angle 135°	2.03 <sup>a</sup>	0.82 <sup>b</sup>	0.268 <sup>ab</sup>	0.836 <sup>ab</sup>
خطای استاندارد SE	0.21	0.105	0.24	0.0094
P-Value				
شرایط خشک کن Condition of drying	<0.0001	<0.0001	<0.0001	<0.0001
زاویه Angle	0.022	<0.0001	0.065	0.055
شرایط × زاویه Condition×angle	0.94	0.13	0.82	0.95

حرف‌های غیرهمسان در هر بخش از هر ستون نشان دهنده اختلاف آماری معنی‌دار در سطح ۰/۰۵ است.

Means with different letters in each part of columns are significantly different ( $P<0.05$ )

عصاره را نشان می‌دهد. مطابق جدول، توابع rangefilt و stdfilt در شرایط  $A_1$  (دمای ۵۵ درجه سلسیوس، فشار خلاً ۴۰ کیلو پاسکال و

جدول ۴ تحلیل اثر شرایط خشک کن خلاًی پاششی را بر ویژگی‌های بافتی مستقل از جهت اندازه‌گیری تصویر تک ذره پودر

معنی‌داری بالاتر بود ( $P<0.05$ ). افزایش مقدار glcmstd بیانگر این است که انحراف استاندارد مقادیر ماتریس هموقوعی سطح خاکستری در همسایگی پیکسل‌ها در شرایط کاری  $A_4$  که نسبت به شرایط  $A_1$  و  $A_2$ ، سطح دمایی بالاتر و فشار خلاً پایین‌تر و غلظت بیشتری دارد، بالاتر است. نتایج مشابهی توسط (Valipoori Goodarzi *et al.*, 2015) به منظور تشخیص تغییرات بافتی سرطان پوست با استفاده از فیلترهای بافت گزارش شد.

غلظت ۲ درصد) نسبت به سایر شرایط به طور معنی‌داری بیشترین مقدار را دارا بودند ( $P<0.05$ )، بهنحوی که در این شرایط بهترتبیب، بازه مقدار شدت خاکستری و درجه تنوع (انحراف استاندارد) مقادیر پیکسل‌ها در همسایگی اطراف یک پیکسل در تصویر، بالا بوده است. این رویداد می‌تواند به دلیل تشکیل پودری با سطح زیر و ناصاف در فرآیند خشک کردن با دمای ورودی پایین و فشار خلاً بالا باشد. مقدار glcmstd نیز در شرایط  $A_4$  نسبت به سایر شرایط خشک کن به طور

**جدول ۴**- تحلیل اثر چهار شرایط عملی خشک کن خلاًی پاششی روی ویژگی‌های بافتی مستقل از جهت تک ذره تصاویر پودر عصاره  
**Table 4**-The analysis of the effect of vacuum spray drying conditions on the single-particle independent of direction textural features of extract powder images

منبع تغییر Source of variation	ویژگی‌های بافتی Textural features					
	آنتروپی Entropy	Entropy filt	Range filt	Stdfilt	Image-std	GLCMstd
شرایط خشک کن Condition of drying						
$A_1$ (40kPa, 55°C, 2%)	4.76	3.73 <sup>a</sup>	88.847 <sup>a</sup>	34.603 <sup>a</sup>	83.813	12.33 <sup>b</sup>
$A_2$ (30kPa, 65°C, 2.5%)	3.02	2.09 <sup>b</sup>	48.543 <sup>b</sup>	19.087 <sup>b</sup>	84.110	59.05 <sup>b</sup>
$A_3$ (30kPa, 65°C, 2%)	3.15	2.03 <sup>b</sup>	38.823 <sup>b</sup>	15.403 <sup>b</sup>	89.910	120.07 <sup>ab</sup>
$A_4$ (20kPa, 75°C, 3%)	4.49	2.74 <sup>ab</sup>	35.223 <sup>b</sup>	13.683 <sup>b</sup>	89.453	206.85 <sup>a</sup>
خطای استاندارد SE	0.543	0.395	6.92	3.087	5.99	32.36
P-Value	0.11	0.053	0.002	0.005	0.82	0.014

حرف‌های غیرهمسان در هر سوتون نشان‌دهنده اختلاف آماری معنی‌دار در سطح ۰/۰۵ است.

Means with different letters in columns are significantly different ( $P<0.05$ )

همان‌گونه که در جدول ۵ مشاهده می‌شود، اثر زاویه نیز بر روی همبستگی بافت ذرات توده‌ای پودر عصاره در سطح احتمال پنج درصد معنی‌دار شد، به‌طوری‌که مقادیر این پارامتر در زاویه‌های صفر و ۹۰ درجه نسبت به زاویه‌های ۴۵ و ۱۳۵ درجه بزرگتر بودند. این پدیده نشان‌دهنده وابستگی بیشتر بین شدت رنگ خاکستری پیکسل‌های نشان دهنده بافت ذرات توده‌ای تصویر در زوابای ۰ و ۹۰ درجه با توجه به ماهیت بافت ذرات توده‌ای تصویر می‌باشد (Alsadegh and Joan, 2012). پارامتر انرژی بافت ذرات توده‌ای در تصاویر یکنواخت و دارای پیکسل‌های خیلی مشابه، مقادیر بالایی دارد. با توجه به جدول ۵ در شرایط  $A_4$  و  $A_3$  مقدار انرژی بافت ذرات توده‌ای نسبت به سایر شرایط کاری خشک کن بزرگ‌تر بود. با توجه به مطالعه ذکر شده روی ویژگی‌های بافتی تک ذره، در شرایط دمای پایین و فشار خلاً بالا منجر به زبری و ناصافی بیشتر سطوح و مقدار بزرگ‌تر کنتراست می‌شود و میزان تغییرات محلی پیکسل‌ها به‌طور معنی‌داری افزایش می‌یابد که این نتایج مشابه نتایج گزارش شده توسط Chanona- (Pérez *et al.*, 2008) بود. همچنین نتایج ارائه شده در جدول ۵ نشان می‌دهد که در شرایط  $A_4$  پارامتر همبستگی نسبت به سایر شرایط کاری خشک کن به‌طور معنی‌داری بالاتر بود ( $P<0.0001$ ). افزایش مقدار همبستگی به تشکیل سریع پوسته سخت در سطح ذرات در دمای تبخیر بالا و فشار خلاً پایین نسبت داده می‌شود، به‌طوری‌که پودری با سطح صاف و نرم را تولید می‌کند (Tonon *et al.*, 2011).

جدول ۵ اثر چهار شرایط عملی خشک کن خلاًی پاششی و زاویه اندازه‌گیری را روی ویژگی‌های بافتی جهت دار ذرات توده‌ای تصاویر پودر عصاره نشان می‌دهد. با توجه به جدول، تغییر شرایط کاری خشک کن روی ویژگی‌های بافتی جهت دار اختلاف معنی‌داری را نشان داد. تغییر زاویه نیز تنها بر روی پارامتر همبستگی بافت پودر عصاره ذرات توده‌ای معنی‌دار شد. مطابق جدول ۵ در شرایط خشک کن  $A_1$ ، مقدار کنتراست (CT) بافت ذرات توده‌ای نسبت به سایر شرایط کاری خشک کن بزرگ‌تر بود. با توجه به مطالعه ذکر شده روی ویژگی‌های بافتی تک ذره، در شرایط دمای پایین و فشار خلاً بالا منجر به زبری و ناصافی بیشتر سطوح و مقدار بزرگ‌تر کنتراست می‌شود و میزان تغییرات محلی پیکسل‌ها به‌طور معنی‌داری افزایش می‌یابد که این نتایج مشابه نتایج گزارش شده توسط Chanona- (Pérez *et al.*, 2008) بود. همچنین نتایج ارائه شده در جدول ۵ نشان می‌دهد که در شرایط  $A_4$  پارامتر همبستگی نسبت به سایر شرایط کاری خشک کن به‌طور معنی‌داری بالاتر بود ( $P<0.0001$ ). افزایش مقدار همبستگی به تشکیل سریع پوسته سخت در سطح ذرات در دمای تبخیر بالا و فشار خلاً پایین نسبت داده می‌شود، به‌طوری‌که پودری با سطح صاف و نرم را تولید می‌کند (Tonon *et al.*, 2011).

**جدول ۵**- تحلیل اثر چهار شرایط عملی خشک کن خلأیی پاششی و زاویه اندازه‌گیری روی ویژگی‌های بافتی جهت‌دار ذرات توده‌ای تصاویر پودر عصاره

**Table 5-** The analysis of the effect of vacuum spray drying conditions and measuring angle on the mass particles directional textural features of powdered extracts images

منبع تغییر Source of variation	ویژگی‌های بافتی Textural features			
	کنترast Contrast	همبستگی Correlation	انرژی Energy	همگنی Homogeneity
شرایط خشک کن Condition of drying				
A <sub>1</sub> (40kPa, 55°C, 2%)	1.028 <sup>a</sup>	0.77 <sup>c</sup>	0.052 <sup>c</sup>	0.69 <sup>c</sup>
A <sub>2</sub> (30kPa, 65°C, 2.5%)	0.61 <sup>b</sup>	0.87 <sup>b</sup>	0.069 <sup>b</sup>	0.76 <sup>b</sup>
A <sub>3</sub> (30kPa, 65°C, 2%)	0.46 <sup>b</sup>	0.91 <sup>ab</sup>	0.081 <sup>a</sup>	0.80 <sup>ab</sup>
A <sub>4</sub> (20kPa, 75°C, 3%)	0.43 <sup>b</sup>	0.93 <sup>a</sup>	0.089 <sup>a</sup>	0.83 <sup>a</sup>
خطای استاندارد SE	0.093	0.014	0.0037	0.017
زاویه Angle				
Angle 0°	0.60	0.89 <sup>a</sup>	0.069	0.80 <sup>a</sup>
Angle 45°	0.64	0.85 <sup>b</sup>	0.069	0.75 <sup>b</sup>
Angle 90°	0.61	0.89 <sup>a</sup>	0.074	0.76 <sup>ab</sup>
Angle 135°	0.68	0.84 <sup>b</sup>	0.079	0.78 <sup>ab</sup>
خطای استاندارد SE	0.093	0.014	0.0037	0.017
P-Value				
شرایط خشک کن Condition of drying	0.0003	<0.0001	<0.0001	<0.0001
زاویه Angle	0.93	0.018	0.19	0.149
شرایط×زاویه Condition×angle	0.99	0.63	0.86	0.95

حروفهای غیرهمسان در هر بخش از هر ستون نشان‌دهنده اختلاف آماری معنی‌دار در سطح ۰/۰۵ است.

Means with different letters in each part of columns are significantly different (P<0.05)

پودر عصاره در جدول عه تنها ویژگی آنتروپی (ET) با تغییر شرایط کاری خشک کن اختلاف معنی‌داری را نشان داد (P<0.05). به طوری که در شرایط A<sub>1</sub> بالاترین مقدار را دارا بود. با توجه به نتایج تحقیق (Arzate-Vázquez *et al.*, 2012) تصویر بافت پیچیده‌تر و زبری بیشتر مقادیر آنتروپی بالایی دارد. از این‌رو، در شرایط A<sub>1</sub> (دمای پایین و فشار خلاً بالا) فرآیند خشک کردن به گونه‌ای است که منجر به تشکیل پودری با بافت زبر و خشن می‌شود.

### نتیجه‌گیری

پردازش تصویر می‌تواند ابزار کمکی برای درک و توصیف سیستم‌های پیچیده مانند غذا و مواد بیولوژیکی باشد. در این مطالعه روشی مبتنی بر تصویربرداری به منظور ارزیابی ویژگی‌های بافتی پودر عصاره برگ کنگر فرنگی در چهار شرایط مختلف خشک کن پاششی خلأیی توسعه داده شد.

مطابق جدول ۵، در حالت‌های آزمایشی A<sub>2</sub> و A<sub>3</sub> با شرایط دما و فشار یکسان، حالت A<sub>3</sub> با داشتن غلظت پایین‌تر، زبری کمتر و مقدار انرژی و یکنواختی بیشتری نسبت به شرایط A<sub>2</sub> داشته است. در واقع با توجه به نسبت عصاره به افزودنی، با کاهش غلظت محلول، میزان ماده افزودنی (لاکتوز) افزایش یافت، بنابراین افزایش غلظت افزودنی سبب تسريع در فرآیند تشکیل پوسته سخت شد در نتیجه تصویر ذرات تولیدشده در این شرایط بافت یکنواخت‌تری دارند. همچنین شرایط A<sub>3</sub> به دلیل داشتن سطح دمایی بالاتر و فشار خلاً پایین‌تر نسبت به شرایط A<sub>1</sub>، فرآیند تشکیل پودر عصاره سریعتر اتفاق افتاده و بافت همگن‌تری حاصل می‌شود. پارامتر همگنی که همگنی محلی را نشان می‌دهد، همانند ویژگی انرژی بافت در شرایط A<sub>4</sub> نسبت به سایر شرایط کاری خشک کن به طور معنی‌داری بیشترین مقدار را دارا بود (P<0.0001). این نتایج با نتایج (Fernández *et al.*, 2005; Mendoza *et al.*, 2007) مطابقت داشت.

با توجه به تحلیل اثر شرایط خشک کن خلأیی پاششی بر ویژگی‌های بافتی مستقل از جهت اندازه‌گیری مربوط به ذرات توده‌ای

**جدول ۶**- تحلیل اثر چهار شرایط عملی خشک کن خلأی پاششی روی ویژگی‌های بافتی مستقل از جهت ذرات توده‌ای تصاویر پودر عصاره

**Table 6**-The analysis of the effect of vacuum spray drying conditions on the mass particles independent of direction textural features of extract powder images

منبع تغییر Source of variation	ویژگی‌های بافتی Textural features					
	انتروپی Entropy	Entropy filt	Range filt	Stdfilt	Image-std	GLCMstd
شرایط خشک کن Condition of drying						
A <sub>1</sub> (40kPa, 55°C, 2%)	7.14 <sup>a</sup>	5.16	71.8 <sup>a</sup>	23.29 <sup>a</sup>	61.377	634.3
A <sub>2</sub> (30kPa, 65°C, 2.5%)	6.72 <sup>ab</sup>	4.9	51.71 <sup>ab</sup>	16.38 <sup>ab</sup>	58.600	1059.1
A <sub>3</sub> (30kPa, 65°C, 2%)	6.51 <sup>b</sup>	4.75	46.85 <sup>ab</sup>	13.89 <sup>ab</sup>	61.707	1096.1
A <sub>4</sub> (20kPa, 75°C, 3%)	6.32 <sup>b</sup>	4.67	39.83 <sup>b</sup>	11.067 <sup>b</sup>	57.673	1250.3
خطای استاندارد SE	0.17	0.172	7.64	3.3	2.39	339.2
P-Value	0.04	0.26	0.08	0.13	0.57	0.63

حروف های غیرهمسان در هر سوتون نشان دهنده اختلاف آماری معنی دار در سطح ۰/۰۵ است.

Means with different letters in columns are significantly different (P<0.05)

معکوس را نشان دادند. کاهش غلظت محلول نیز منجر به وجود اجزای هیدروفلیلی (لاکتوز) بیشتر در ترکیب عصاره با افزودنی شده و درنتیجه ویژگی‌های بافتی پودر عصاره بهبود می‌یابد. پارامتر جهت نیز بر ویژگی‌های بافتی GLCM تأثیر گذاشته بود. دو ویژگی بافتی جهت دار (کنتراست و همبستگی) نیز با توجه به ماهیت بافت ذرات در جهات مختلف اندازه گیری تفاوت معنی داری را نشان دادند. بنابراین سیستم پردازش تصویر یک راه ساده، سریع و راحت برای تشخیص اطلاعات بافتی پودرهای مواد غذایی و بیولوژیکی فراهم می‌کند. اطلاعات استخراج شده از تجزیه و تحلیل بافت تصویر ممکن است اطلاعات مفید و بالرژشی را به درک نقش ساختار با توجه به عملکرد محصول ارائه کند. در نتیجه، این ابزار می‌تواند بهبود فرآیند مواد غذایی را تکمیل کند.

روش ماتریس هموقوعی سطح خاکستری (GLCM) به منظور تحلیل بافت تصاویر میکروسکوپی استفاده شد. پارامترهای بافت مورد مطالعه گشتاور زاویه‌ای مرتبه دوم (انرژی)، کنتراست، همبستگی، آنتروپی، گشتاور معکوس (همگنی) و توابع stdfilt، rangefilt و image\_std، entropyfilt و glcmstd بودند. نتایج نشان داد که دمای بالا (۷۵ درجه سلسیوس) و فشار خلاً پایین (۲۰ کیلو پاسکال) در شرایط بهینه به دلیل سرعت تبخیر و خشک شدن بیشتر منجر به تشکیل تعداد بیشتری از ذرات با سطوح صاف شد، درنتیجه در این شرایط، پارامترهای گشتاور زاویه‌ای مرتبه دوم، همبستگی، گشتاور معکوس و glcmstd بیشترین مقدار و مقادیر کنتراست، آنتروپی، کنترast و stdfilt rangefilt و image\_std مقدار را دارا بودند. بنابراین، پارامترهای آنتروپی در مقایسه با همبستگی، انرژی و همگنی روندی کنتراست و آنتروپی در مقایسه با همبستگی، انرژی و همگنی روندی

## References

1. Aguilera, J. M. 2007. Microstructure and Food Product Engineering. *Food Technology* 54 (11): 56-65.
2. Alamilla-beltran, L., J. J., Chanona-perez, A. R., Jimenez-aparicio, and G. F., Gutierrez-lopez. 2005. Description of morphological changes of particles along spray drying. *Journal of Food Engineering* 67: 179-184.
3. Albrechtsen, F. 2008. Statistical Texture Measures Computed from Gray Level Cooccurrence Matrices. <https://pdfs.semanticscholar.org/3253/8c358410ebce7c9ecf688addddf13f45b75b.pdf>.
4. Alsadegh Saleh Saied, M., and L. Joan. 2015. Analysis of GLCM Parameters for Textures Classification on UMD Database Images. In: Proceedings of the Fif<sup>th</sup> International Conference on Advanced Communications and Computation. INFOCOMP (2015). IARIA, Brussels, Belgium, 111-116. ISBN 9781612084169.
5. Arzate-Vázquez, I., J. J. Chanona-Pérez, G. Calderón-Domínguez, E. Terres-Rojas, V. Garibay-Febles, A. Martínez-Rivas, and G. F. Gutiérrez-López. 2012. Microstructural characterization of chitosan and alginate films by microscopy techniques and texture image analysis. *Carbohydrate Polymers* 87 (1): 289-299. <http://dx.doi.org/10.1016/j.carbpol.2011.07.044>.
6. Chanona-Pérez, J., R. Quevedo, A. R. Jiménez Aparicio, C. Gumeta Chávez, J. A. Mendoza Pérez, G. Calderón Domínguez, L. Alamilla-Beltrán, and G. F. Gutiérrez-López. 2008. Image Processing Methods and Fractal Analysis for Quantitative Evaluation of Size, Shape, Structure and Microstructure in Food

- Materials. pp 277-286 in G. F. Gutiérrez-López., J. Welti-Chanes and E. Parada-Arias eds. Food Engineering: Integrated Approaches. Springer. México.
7. Chindapan, N., S. Devahastin, and N. Chiewchan. 2010. Effect of electrodialysis pretreatment on physicochemical properties and morphology of spray-dried-fish sauce powder. *Journal of Food Engineering* 99 (1): 31-39. doi:10.1016/j.jfoodeng.2010.01.027.
  8. Fernández, L., C. Castillero, and J. M. Aguilera. 2005. An application of image analysis to dehydration of apple discs. *Journal of Food Engineering* 67: 185-193.
  9. Freitas, S., H. P. Merkle, and B. Gander. 2004. Ultrasonic atomization into reduced pressure atmosphere envisaging aseptic spray-drying for microencapsulation. *Journal of Controlled Release* 95 (2): 185-195.
  10. Gavini, E., M. C. Alamanni, M. Cossu, and P. Giunchedi. 2005. Tabletted microspheres containing *Cynara scolymus* (var. *Spinoso sardo*) extract for the preparation of controlled release nutraceutical matrices. *Journal of Microencapsulation* 22 (5): 487-99.
  11. Golpour, I., J. Amiri Parian, R. Amiri Chayjan, and J. Khazaei. 2015. Identification of varieties of paddy, brown and white rice based on the texture characteristics and artificial neural network. *Journal of Agricultural Machinery* 5 (1): 73-81. (In Farsi).
  12. Kamruzzaman, M., G. E. Masry, D. W. Sun, and P. Allen. 2012. Prediction of some quality attributes of lamb meat using near-infrared hyperspectral imaging and multivariate analysis. *Analytica Chimica Acta* 714: 57-67. <http://dx.doi.org/10.1016/j.aca.2011.11.037>.
  13. Kumar, V., S. Sood, and Sh. Mishra. 2008. Introducing Effects in an Image: A MATLAB Approach. Available at: <https://hal.inria.fr/inria-00321624>.
  14. Lattanzio, V., P. A. Kroon, V. Linsalata, and A. Cardinali. 2009. Globe artichoke: A functional food and source of nutraceutical ingredients. *Journal of Functional Foods* 1: 131-144.
  15. Marzi, V., V. Lattanzio, and S. Vanadia. 1975. Il Carciofo Pianta Medicinale. Palo, Bari: Ed. Liantonio.
  16. Mendoza, F., P. Dejmek, and J. M. Aguilera. 2007. Colour and image texture analysis in classification of commercial potato chips. *Food Research International* 40: 1146-1154.
  17. Meraz-Torres, L. S., M. X. Quintanilla-Carvajal, D. I. Téllez-Medina, H. Hernández-Sánchez, L. Alamilla-Beltrán, and G. F. Gutiérrez-López. 2011. Water droplet spreading and recoiling upon contact with thick-compact maltodextrin agglomerates. *Journal of the Science of Food and Agriculture* 91: 2594-2600. Doi: 10.1002/jsfa.4631.
  18. Mirarab Razi, S., M. Mohebbi, and A. Alghoone. 2015. Investigation of application image processing in assessing the microstructure of ice cream. *Innovative food technologies* 8: 49-61
  19. Moghimi, A., M. H. Aghkhani, and M. R. Golzarian. 2015. Computer vision algorithms designed to detect sweet pepper for robotic harvesting in natural light conditions. *Journal of Agricultural Machinery* 5 (1): 82-91. (In Farsi).
  20. Mohammadi Moghaddam, T., M. BahramParvar, and S. M. A. Razavi. 2015. Effect of frying temperature and time on image characterizations of pellet snacks. *Journal of Food Science and Technology* 52 (5): 2958-2965. doi: 10.1007/s13197-014-1326-6.
  21. Mohanaiah, P., P. Sathyanarayana, and L. GuruKumar. 2013. Image texture feature extraction using GLCM approach. *International Journal of Scientific and Research Publications* 3 (5): ISSN 2250-3153.
  22. Nikolova, Y., J. Petit, A. Gianfrancesco, C. F. W. Sanders, J. Scher, and C. Gaiani. 2015. Impact of Spray-Drying Process Parameters on Dairy Powder Surface Composition and Properties. *Drying Technology: An International Journal*, DOI: 10.1080/07373937.2015.1060494.
  23. Parker, J. R., and K. Terzidis. 2011. Algorithms for image processing and computer vision, Second Edition, Wiley Publishing, Indianapolis.
  24. Quintanilla-Carvajal, M. X., L. S. Meraz-Torres, L. Alamilla-Beltrán, J. J. Chanona-Pérez, E. Terres-Rojas, H. Hernández-Sánchez, A. R. Jimenez-Aparicio, and G. F. Gutiérrez-López. 2011. Morphometric Characterization of Spray-Dried Microcapsules before and After -Tocopherol Extraction. *Revista Mexicana de Ingeniería Química* 10 (2): 301-312.
  25. Rodríguez, S. D., T. F. Wilderjans, N. Sosa, and D. L. Bernik. 2013. Image Texture Analysis and Gas Sensor Array Studies Applied to Vanilla Encapsulation by Octenyl Succinic Anhydride Starches *Journal of Food Research* 2: 1-13.
  26. Sadykhov, A., and S. Kish. 1997. Unique ultrasonic vacuum spray dryer e a new spray drying concept for high quality powder. The second Israel Conference for Conveying and Handling of Particulate Solids, Jerusalem, Isreal.

27. Semyonov, D., O. Ramon, and E. Shimoni. 2011. Using ultrasonic vacuum spray dryer to produce highly viable dry probiotics. *Journal of Food Science and Technology* 44: 1844-1852.
28. Singh, V., T. N. Singh, and V. Singh. 2010. Image processing applications for customized mining and ore classification. *Arabian Journal of Geosciences* 4: 1163-1171.
29. Sonnante, G., A. De Paolis, V. Lattanzio, and P. Perrino. 2002. Genetic variation in wild and cultivated artichoke revealed by RAPD markers. *Genetic Resources and Crop Evolution* 49: 247-252.
30. Tonon, R. V., C. Brabet, and M. D. Hubinger. 2008. Influence of process conditions on the physicochemical properties of acai (*Euterpe oleracea Mart.*) powder produced by spray drying. *Journal of Food Engineering* 88: 411-418.
31. Tonon, R. V., C. R. F. Gross, and M. D. Hubinger. 2011. Influence of emulsion composition and inlet air temperature on the microencapsulation of flaxseed oil by spray drying, *Food Research International* 44 (1): 282-289.
32. Tournier, C., M. Grass, D. Zope, C. Salles, and D. Bertrand. 2012. Characterization of bread breakdown during mastication by image texture analysis. *Journal of Food Engineering* 113 (4): 615-622. <http://dx.doi.org/10.1016/j.jfoodeng.2012.07.015>.
33. Valipoori Goodarzi, F., J. Haddadnia, and M. Hashemian. 2015. Diagnosis of malignant melanoma based on tissue changes in spatial thermography images. *Dermatology and Cosmetic* 6 (4): 221-226.
34. Williams, A. T., R. J. Wiltshire, and C. M. Thomas. 1998. Sand Grain Analysis, Image Processing, Textural Algorithms and Neural Nets. *Computers & Geosciences* 24: 111-118.
35. Woo, M. W., A. S. Mujumdar, and W. R. W. Daud. 2010. Spray Drying Technology, pp. 113-156 in W.P. Oliveira, C.R.F. Souza, L.E. Kurozawa, K.L Park eds. *Spray Drying of Food and Herbal Products*. Published in Singapore.
36. Yu, X., K. Liu, D. Wu, and Y. He. 2012. Raisin quality classification using least squares support vector machine (LSSVM) based on combined color and texture features. *Food and Bioprocess Technology* 5 (5): 1552-1563. <http://dx.doi.org/10.1007/s11947-011-0531-9>.
37. Zheng, C., D. W. Sun, and L. Zheng. 2006. Recent applications of image texture for evaluation of food qualities – a review. *Trends in Food Science & Technology* 17 (3): 113-128. <http://dx.doi.org/10.1016/j.tifs.2005.11.006>.

## Analysis of Microscopic Image Textural Features of Artichoke Leaf Extract Powder Produced from Vacuum Spray Drying

S. Sadeghzade Namavar<sup>1</sup> - J. Amiri Parian<sup>2\*</sup> - R. Amiri Chayjan<sup>3</sup>

Received: 16-03-2017

Accepted: 15-10-2017

### Introduction

The artichoke is part of the foods from the vegetable group that provide important nutrients like vitamin A and C, potassium and fiber which used as a food and medicine. In the pharmaceutical sector, dried extracts are used in the preparation of pills and capsules. Dried extracts can be prepared from the dehydration of a concentrated extractive solution from herbal materials (leaves, roots, seeds, etc.), resulting in a dried powder. The spray drying is widely used in the preparation of dried powders from extracts of medicinal plants, fruit pulps. One of the newly developed spray drying techniques is an ultrasonic vacuum method, which strengths of spray drying by incorporation of ultrasonic atomizer and vacuum chamber. Nowadays, image processing has been applied to food images, as acquired by different microscopic systems, to obtain numerical data about the morphology and microstructure of the analyzed foods. For this purpose, microscopy and image processing techniques could be considered as proper tools to evaluate qualitatively and quantitatively the food microstructure, making possible to carry out numerical correlations between microstructure data, as obtained from the images, and the textural properties of food powders. The textural characteristics of the obtained dried powders are determined by means of a perfect detection by scanning electron microscopy (SEM) pictures, and analyzed with a statistical approach for image texture studies, which calls the gray level co-occurrence matrix (GLCM) technique. The object of this study was to illustrate the application of image processing to the study of texture properties from extract powder using GLCM texture analysis and some vacuum spray dryer conditions effect on the texture features of mass particles and single particle SEM images.

### Materials and Methods

After preparing water extract solution from artichoke leaves, extracts were dried under four conditions of vacuum spray drying (according to Table 1). To study the texture of the obtained dried extract powders, different representative features are extracted from the GLCM matrix. The angular second moment (ASM), which is defined as a measure of the homogeneity of the image, the contrast parameter (CT), which represents the amount of local variations given by differences in the gray values in the image. The correlation value (CR), which is a measure of gray tone linear dependencies in the image depending on the direction of the measure (different  $\theta$ s). The inverse difference moment value (IDM), which, similar to ASM, quantifies the homogeneity of the image, however, using a different equation, the entropy parameter (ET), which is a measure that is inversely related to the order given by the gray tones in the image. Rangefilt and stdfilt calculates the local range and local standard deviation of an image respectively. Entropyfilt calculates the local entropy of a grayscale image also. Parameters (ASM, CT, CR and IDM) were analyzed in four directions ( $0^\circ$ ,  $45^\circ$ ,  $90^\circ$ , and  $135^\circ$ ).

### Results and Discussion

The results of analysis of variance showed that, the difference between the textural features of a single particle and mass particles in four different conditions vacuum spray dryer was significant statistically. Texture analysis was demonstrated that larger ASM, CR, and IDM values indicate less roughness, whereas larger CT and ET values indicate more roughness. At lower inlet temperature and higher vacuum pressure, water diffusion in the material to be slower and allowing the deformation process in the particles to be more pronounced. Consequently, it was possible to observe that generated smaller particles are rougher and less spherical. When the concentration is increased, due to the constant concentration of the additive, the ratio of excipient (lactose) to extraction decreased, as a result were formed a greater number of particles with rougher surfaces. According to these conditions, the values of CT, ET, rangefilt and stdfilt were larger while ASM, CR, and IDM values were

1, 2, 3- PhD Student, Assistant Professor and Associate Professor, respectively, Department of Biosystems Engineering, Faculty of Agriculture, Bu-Ali Sina University, Hamedan, Iran  
(\*- Corresponding Author Email: Amiriparian@gmail.com)

smaller. By analyzing the effect of the angle on the oriented textural characteristics, the contrast and correlation parameter were maximum at the angles of 45 and 135 degrees and 0 and 90 degrees respectively.

### Conclusions

Image processing could be auxiliary tools for understanding and characterizing complex systems such as food and biological materials. In this study imaging-based technique was developed to evaluate the texture properties of artichoke leaf extract powder at different conditions of vacuum spray drying. The use of higher temperatures and lower vacuum pressures contributed to faster evaporation rate and production of smoother and larger particles, thereby increasing ASM, CR, and IDM values and reducing CT, ET, Rangefilt and stdfilt. Furthermore, the contrast and entropy parameters showed inverse trends in comparison with correlation, energy and homogeneity. Decrease of solution concentration resulted in the more presence of lactose in the composition of extract/excipient improves the textural properties of powders. The direction parameter had also affected on GLCM textural features. Two oriented textural characteristics (contrast and correlation) also showed significant differences with respect to the nature of particle texture in different directions of measurement. The obtained data extracted from image analysis may provide valuable information to understand the role of structure with respect to product functionality.

**Keywords:** Artichoke leaves, Extract powder, Grey level co-occurrence matrix, Textural features, Vacuum spray drying